

# 결합 최대 우도 검파기반 하향링크 비직교 다중 접속 시스템의 성능 분석

염정선 (충남대학교), 정방철 (충남대학교)

jsyeom@cnu.ac.kr, bcjung@cnu.ac.kr

## Performance Analysis of Downlink NOMA based on Joint Maximum Likelihood Detection

Jeong Seon Yeom (CNU), Bang Chul Jung (CNU)

Chungnam National University.

### 요약

본 논문은 SIMO (single-input multiple-output) 셀룰러 하향링크 시스템에서 비직교 다중 접속 (non-orthogonal multiple access: NOMA) 기술에 대한 성능 분석을 다룬다. 구체적으로, 본 논문에서는 페이딩 (fading) 채널 환경에서 다중 수신 안테나를 갖는 두 개의 단말기가 존재하고 두 단말이 기지국 (Base Station: BS)로부터 임의의 서로 다른 거리에 존재하는 경우 각 단말에서 결합 최대 우도 검파 (joint maximum likelihood: JML) 기법을 사용하는 경우에 대한 비트 오류 확률을 수학적으로 분석한다. 시뮬레이션 결과를 통하여 본 논문에서 수학적으로 유도된 비트 오류 확률식이 정확함을 검증한다.

### I. 서론

비직교 다중 접속 (NOMA)은 동일한 주파수 자원을 둘 이상의 단말기가 동시에 사용하여 주파수 효율성 (spectral efficiency)을 높이는 통신 방법으로 많은 연구가 진행되고 있다[1]. 이러한 연구들 중에서 시스템 환경, 검파 기법 등에 따라 NOMA 시스템의 오류 확률을 분석한 연구가 존재한다[2],[3]. 하지만 다중 안테나 수신기를 가지는 하향 링크 NOMA 시스템에서 최적의 검파 기법인 결합 최대 우도 검파 기법의 비트 오류 확률 (bit-error rate: BER) 분석에 대한 연구는 없으므로 본 논문에서 이에 대한 성능을 수학적으로 분석한다. 본 논문에서는 페이딩 채널 환경을 가정하며 모든 신호는 QPSK 변조된다.

### II. 시스템 모델

본 논문에서는 한 개의 기지국 (base station: BS)이 한 개의 셀 중심 사용자 (cell-center user: CCU)와 한 개의 셀 외곽 사용자 (cell-edge user: CEU)에게 1개의 부반송파 (sub-carrier)를 이용하여 동시에 하향링크 통신을 하는 비직교 다중 접속 시스템을 고려한다. 각 사용자는  $N$  개의 안테나를 가지고 BS는 단일 안테나를 가지며 각 사용자에 대한 신호는 QPSK 변조된다고 가정한다. 또한, CCU와 CEU는 BS으로부터 각각 거리  $d_C$  과  $d_E$ 에 존재한다고 가정한다. 이때,  $d_C < d_E$ .이다.

BS는 두 개의 QPSK 신호를 중첩하기 전에 중첩신호가 Gray 매핑을 따르기 위해 다음과 같이 CCU의  $i$  번째 비트 ( $b_{C,i}$ )를 부호화한다.

$$\bar{b}_{C,i} = b_{C,i} \oplus b_{E,i}, \quad (i \in \{1, 2\}), \quad (1)$$

$b_{E,i}$  와  $\bar{b}_{C,i}$ 는 각각 CEU의  $i$  번째 비트와 CCU의 부호화된  $i$  번째 비트를 의미한다. 이를 통해 BS는 두 개의 QPSK 심벌을 생성하고 각 심벌에 전력 분배 파라미터  $a$  ( $0 \leq a \leq 0.5$ )에 따라 전력을 할당하여 중첩신호를 생성 한 후 신호를 전송한다. 각 사용자가  $N$ 개의 안테나로 수신한 신호는 다음과 같다.

$$\mathbf{y}_U = \sqrt{Pd_U^{-\alpha}} \mathbf{h}_U (\sqrt{a}x_C + \sqrt{1-a}x_E) + \mathbf{n}_U, \quad (U \in \{C, E\}), \quad (2)$$

본 논문에서는 기호 U가 가지는 기호 C는 CCU를 의미하며 E는 CEU를 의미한다.  $\mathbf{y}_U$ , 는 사용자 U의 수신 신호 벡터,  $\mathbf{h}_U$ 는 BS로부터 사용자 U까지 무선 채널 벡터이며 모든 채널은  $\mathcal{CN}(0,1)$ 의 분포를 따른다고 가정한다. 본 논문에서 각 사용자는 BS의 파일럿 신호에 의해 자신의 채널을 완벽하게 알고 있다고 가정한다.  $\mathbf{n}_U$ 는 사용자 U의 가우시안 잡음으로  $\mathcal{CN}(0, N_0)$ 의 분포를 따른다고 가정한다.  $P$ 는 BS의 송신 전력이고  $x_U$ 는 사용자 U의 QPSK 심벌을 의미한다. 각 사용자는 수신 신호 대 잡음비 (signal-to-noise ratio: SNR)를 최대화하는 기법인 최대 비 결합을 다음과 같이 수행한다.

$$\bar{y}_U = \frac{\mathbf{h}_U^\top}{\sqrt{Pd_U^{-\alpha}} \|\mathbf{h}_U\|^2} \mathbf{y}_U = \sqrt{a}x_C + \sqrt{1-a}x_E + \bar{n}_U, \quad (3)$$

여기서  $\bar{n}_U$ 는  $\mathcal{CN}(0, N_0 / (\|\mathbf{h}_U\|^2 P d_U^{-\alpha}))$ 의 분포를 따른다. 그리고 본 논문에서는 각 사용자가 신호를 검파하기 위해 일반적으로 중첩 신호를 검파 기법으로 사용되는 연속 간섭 제거 (successive interference cancellation) 기법이 아닌 식 (4)와 같이 결합 최대 우도 검파 (JML) 기법을 사용한다.

$$(\hat{x}_C, \hat{x}_E) = \arg \min_{(x_C, x_E) \in \mathcal{C}^{2 \times 1}} \bar{y}_U - (\sqrt{a}x_C + \sqrt{1-a}x_E). \quad (4)$$

JML 검파 기법의 BER 성능은 각 사용자의 첫 번째 비트 ( $b_{U,1}$ )에 대해 분석하며 이 결과는 모든 비트에 일반화된다. 이에 대한 분석 결과는 다음 식 (5), (6)과 같이 CEU ( $P_{b,E}$ )와 CCU ( $P_{b,C}$ )에 따라 다르게 유도된다.

$$\psi(c) \triangleq \left(1 - \sqrt{\frac{\rho c}{2+\rho c}}\right)^N \sum_{i=0}^{N-1} \binom{N-1+i}{i} \left(\frac{1}{2}\right)^{N+i+1} \left(1 + \sqrt{\frac{\rho c}{2+\rho c}}\right)^i, \\ P_{b,E} = \sum_{i=0}^1 \psi \left( \frac{d_E^{-\alpha}}{2} (\sqrt{1-a} + (-1)^i \sqrt{a})^2 \right), \quad (5)$$

$$P_{b,C} = 2\psi \left( \frac{d_C^{-\alpha}}{2} a \right) - \sum_{i=0}^1 (-1)^i \psi \left( \frac{d_C^{-\alpha}}{2} (2\sqrt{1-a} + (-1)^i \sqrt{a})^2 \right) \quad (6)$$

### III. 시뮬레이션 결과 및 결론

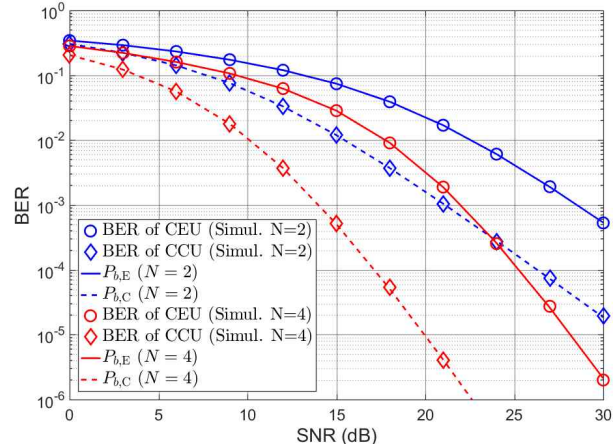


그림 1 JML 검파기반 하향링크 NOMA 시스템의 BER 성능 분석

그림 1은 각 사용자의 BER 분석과 시뮬레이션 결과를 SNR에 대하여 보여주며 전력 분배 파라미터  $\alpha = 0.2$ , 사용자들의 안테나 개수  $N = 2, 4$  일 때의 결과이다. 전체 SNR 구간에 대해 시뮬레이션 결과들은 수학적으로 분석한  $P_{b,E}$ ,  $P_{b,C}$ 와 정확히 일치하는 것을 볼 수 있다.

### ACKNOWLEDGMENT

이 논문은 2019년도 정부(과학기술정보통신부)의 재원으로 정보통신기술 진흥센터의 지원을 받아 수행된 연구임 (No. 2015-0-00278, 5G 실감형 서비스를 실현하기 위한 초저지연 네트워크 기술연구).

### 참고 문헌

- [1] L. Dai, B. Wang, Y. Yuan, S. Han, C. -L. I and Z. Wang, "Non-orthogonal multiple access for 5G: Solutions, challenges, opportunities, and future research trends," *IEEE Commun. Mag.*, vol. 53, no. 9, pp. 74-81, Sep. 2015.
- [2] F. Kara and H. Kaya, "BER performances of downlink and uplink NOMA in the presence of SIC errors over fading channels," *IET Communications*, vol. 12, no. 15, pp. 1834 - 1844, Sept. 2018.
- [3] J. S. Yeom, E. Chu, B. C. Jung, and H. Jin, "Performance analysis of diversity-controlled multi-user superposition transmission for 5G wireless networks," *MDPI Sensors*, vol. 18, no. 2, Feb. 2018.